

TUGAS AKHIR

**PERENCANAAN BENDUNG DAERAH IRIGASI UJUNG
GUNUNG KABUPATEN PADANG PARIAMAN**

**Diajukan Sebagai Salah Satu Syarat Untuk Memperoleh Gelar Sarjana Teknik
Pada Prodi Teknik Sipil Fakultas Teknik Sipil dan Perencanaan
Universitas Bung Hatta**

Oleh :

NAMA : WILLY DINATA

NPM : 1510015211082



**PROGRAM STUDI TEKNIK SIPIL
FAKULTAS TEKNIK SIPIL DAN PERENCANAAN
UNIVERSITAS BUNG HATTA
PADANG
2022**

TUGAS AKHIR

"PERENCANAAN BENDUNG DAERAH IRIGASI UJUNG GUNUNG KABUPATEN PADANG PARIAMAN"

Oleh :

Nama : Willy Dinata

NPM : 1510015211082

Program Studi : Teknik Sipil

Telah diperiksa dan disetujui untuk diajukan dan dipertahankan dalam ujian komprehensif guna mencapai gelar Sarjana Teknik Sipil Strata Satu pada Fakultas Teknik Sipil dan Perencanaan, Universitas Bung Hatta – Padang.

Padang, 24 February 2022

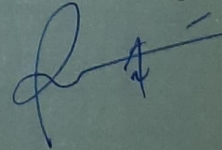
Menyetujui :

Pembimbing I



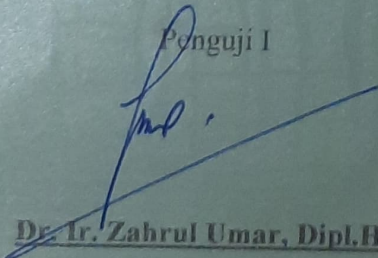
Drs. Nazwar Djali, ST, Sp-1

Pembimbing II



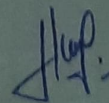
Rita Anggraini, S.T., M.T

Penguji I



Dr. Ir. Zahrul Umar, Dipl.HE

Penguji II



Dr. Edwina Zainal, ST., M (Eng)

TUGAS AKHIR

" PERENCANAAN BENDUNG DAERAH IRIGASI UJUNG GUNUNG KABUPATEN PADANG PARIAMAN"

Oleh :

Nama : Willy Dinata

NPM : 1510015211082

Program Studi : Teknik Sipil

Telah diperiksa dan disetujui untuk diajukan dan dipertahankan dalam ujian komprehensif guna mencapai gelar Sarjana Teknik Sipil Strata Satu pada Fakultas Teknik Sipil dan Perencanaan, Universitas Bung Hatta – Padang.

Padang, 24 February 2022

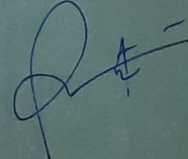
Menyetujui :

Pembimbing I



Drs. Nazwar Djali, ST, Sp-1

Pembimbing II



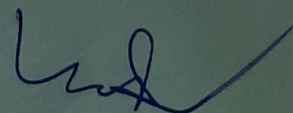
Rita Anggraini, S.T., M.T

Dekan FTSP



Prof. Dr. Ir. H. Nasiryzal Carlo, M.Sc., IPM, PA

Ketua Program Studi



Indra Khaidir, ST, MSc

PERENCANAAN BENDUNG DAERAH IRIGASI UJUNG GUNUNG KABUPATEN PADANG PARIAMAN

Willy Dinata, Nazwar Djali, Rita Anggraini

Jurusan Teknik Sipil, Fakultas Teknik Sipil Dan Perencanaan, Universitas Bung Hatta

Email: willydinata435@gmail.com, Nazwardjali@yahoo.com, rita.anggraini@bunghatta.ac.id

ABSTRAK

Kabupaten Padang Pariaman merupakan salah satu daerah yang sebagian besar masyarakatnya merupakan petani, salah satunya daerah irigasi Ujung Gunung yang memiliki luas sawah 855 h. Saat ini kondisi bendung di Ujung Gunung yang fungsinya sudah terganggu akibat mengalami kerusakan pada kolam olak, pintu penguras yang tidak berfungsi lagi, serta bagian tubuh bendung sudah ada yang berlubang. Pada perencanaan Bendung Ujung Gunung ini dilakukan perhitungan analisa hidrologi, hidrolis bendung, dan stabilitas bendung. Data-data yang diperlukan Peta Topografi dan data curah hujan selama 15 tahun. Luas *catchment area* 33,56 Km², debit banjir rencana 100 tahun dengan Metode Mononobe yaitu 212,075 m³/dt. Lebar total bendung 36,48 m dan tinggi mercu bendung 2,2 m. Berdasarkan perhitungan stabilitas bendung dalam keadaan muka air normal didapat angka keamanan terhadap guling Sf= 2,80 dan geser Sf= 2,52. Dalam keadaan muka air banjir didapat angka keamanan terhadap guling Sf= 1,79 dan geser Sf= 1,89. Untuk tegangan tanah yang diizinkan yaitu 30,96 t/m².

Kata Kunci : bendung, tipe mercu, *catchment area*.

Pembimbing I

Pembimbing II

Drs. Nazwar Djali, ST, Sp-1

Rita Anggraini, ST, MT

DAM PLANNING OF UJUNG GUNUNG IRRIGATION AREA IN PADANG PARIAMAN REGENCY

Willy Dinata, Nazwar Djali, Rita Anggraini

Department of Civil Engineering, Faculty of Civil Engineering and Planning, Bung Hatta
University

Email: willydinata435@gmail.com, Nazwardjali@yahoo.com, rita.anggraini@bunghatta.ac.id

ABSTRACT

Padang Pariaman Regency is one of the area that mostly has society as a farmer, one of which is Ujung Gunung irrigation area which has 855 h of rice field. Currently, the condition of the dam at Ujung Gunung whose function has been disrupted due to damage of the circulation of surface water pool, the drain door which has no longer function, and the body part of dam already has holes. In this dam planning of Ujung Gunung area there are hydrology analysis calculations, dam hydrolysis, and dam stability were carried out. The datas required include Topographics maps and rainfall data for 15 years. From the calculation results, it gets the catchment area is 33,56 Km², the flood discharge plan for 100 years which using the Mononobe Method is 212,075 m³/sec. The total width of the dam is 36,48 m and the height of the dam is 2,2 m. Based on the calculation of the stability of the weir in normal water conditions, the safety figure against rolling is Sf= 2,80 and sliding Sf= 2,52. When the water is flooded, the safety figures for rolling Sf= 1,79 and sliding Sf= 1,89 are obtained. For the soil stress that allowable is 30,96 t/m².

Keywords: Dam, type of dam, catchment area.

1st Adviser

2nd Adviser

Drs. Nazwar Djali, ST, Sp-1

Rita Anggraini, ST, MT

DAFTAR ISI

| | Halaman |
|--|---------|
| KATA PENGANTAR | ii |
| DAFTAR ISI | iv |
| DAFTAR GAMBAR | viii |
| DAFTAR TABEL | x |
| DAFTAR LAMPIRAN | xii |
| | |
| BAB I PENDAHULUAN | 1 |
| 1.1 Latar Belakang | 1 |
| 1.2 Rumusan Masalah | 4 |
| 1.3 Maksud dan Tujuan | 4 |
| 1.4 Batasan Masalah | 5 |
| 1.5 Pengumpulan Data | 5 |
| 1.6 Sistematika Penulisan | 5 |
| | |
| BAB II LANDASAN TEORI | 7 |
| 2.1 Pengertian Bendung | 7 |
| 2.2 Analisis Curah Hujan Rata-rata | 8 |
| 2.2.1 Metode Poligon Thiessen | 8 |
| 2.2.2 Metode Aljabar | 9 |
| 2.2.3 Metode Isohiet | 10 |
| 2.3 Analisa Curah Hujan Rencana | 11 |
| 2.3.1 Metode Distribusi Normal | 11 |
| 2.3.2 Metode Distribusi Gumbel | 13 |
| 2.3.3 Metode Distribusi Log Normal | 16 |
| 2.3.4 Metode Distribusi Log Pearson Tipe III | 16 |
| 2.4 Uji Kesesuaian Data | 21 |
| 2.4.1 Uji Chi-Kuadrat | 21 |
| 2.4.2 Uji Smirnov Kolmogorof | 22 |

| | |
|--|-----------|
| 2.5 Analisis Debit Banjir Rencana | 26 |
| 2.5.1 Metode Rasional | 26 |
| 2.5.2 Metode Weduwan | 28 |
| 2.5.3 Metode Hasper | 28 |
| 2.5.4 Metode Mononobe | 29 |
| 2.6 Pemilihan Lokasi Bendung | 30 |
| 2.7 Perencanaan Hidrolis Bendung | 31 |
| 2.7.1 Eleveasi Mercu Bendung | 31 |
| 2.7.2 Lebar Bendung | 32 |
| 2.7.3 Lebar Efektif Bendung | 33 |
| 2.7.4 Tipe Mercu Bendung | 33 |
| 2.7.5 Peredam Energi | 37 |
| 2.8 Analisa Stabilitas Bendung | 43 |
| | |
| BAB III METODOLOGI PENELITIAN | 57 |
| 3.1 Lokasi Penelitian | 57 |
| 3.2 Pengumpulan Data-data | 58 |
| 3.2.1 Peta Topografi | 58 |
| 3.2.2 Data Hidrologi | 59 |
| 3.3 Perhitungan Curah Hujan Rencana | 59 |
| 3.4 Uji Distribusi Probabilitas | 59 |
| 3.5 Perhitungan Debit Banjir Rencana | 60 |
| 3.6 Hidrolis Bendung | 60 |
| 3.7 Flow Chart Perencanaan Bendung | 61 |
| | |
| BAB IV ANALISIS DAN PEMBAHASAN | 62 |
| 4.1 Analisis Daerah Aliran Sungai (DAS) | 62 |
| 4.2 Analisis Curah Hujan Dengan Poligon Thiessen | 63 |
| 4.2.1 Distribusi Probabilitas | 64 |
| 4.2.2 Uji Distribusi Probabilitas | 72 |
| 4.3 Analisis Debit Banjir Rencana | 86 |

| | |
|---|-----|
| 4.4 Pemilihan Debit Banjir Di Sungai Berdasarkan Data | |
| Hujan | 94 |
| 4.5 Penentuan Tipe Bendung | 95 |
| 4.6 Perhitungan Hidrolis Bendung | 96 |
| 4.6.1 Perhitungan Elevasi Mercu Bendung | 96 |
| 4.6.2 Perhitungan Lebar Total Bendung | 97 |
| 4.6.3 Pintu Pengambilan (<i>Intake</i>) | 97 |
| 4.6.4 Lebar Efektif Bendung | 98 |
| 4.6.5 Perhitungan Mercu Bendung | 99 |
| 4.6.6 Tinggi Muka Air Banjir (hd) Diatas Mercu | 102 |
| 4.6.7 Perhitungan Tinggi Muka Air Banjir Di Hilir Bendung . | 103 |
| 4.6.8 Perhitungan Kolam Olak (Peredam Energi) | 105 |
| 4.7 Perhitungan Air Balik (<i>Back Water</i>) | 107 |
| 4.8 Perhitungan Stabilitas Terhadap erosi Bawah Tanah | |
| (Piping) | 108 |
| 4.8.1 Penggambaran Rencana Bendung Mercu Bulat dan | |
| Pemecah Energi Type Bak Tenggelam | 108 |
| 4.8.2 Perhitungan Stabilitas Terhadap Erosi Bawah Tanah | |
| (Piping) Pada Kondisi Air Normal | 110 |
| 4.8.3 Perhitungan Stabilitas Terhadap Erosi Bawah Tanah | |
| (Piping) Pada Kondisi Air Banjir | 112 |
| 4.9 Gaya-gaya Yang Bekerja | 115 |
| 4.9.1 Gaya Akibat Berat Sendiri Bendung | 115 |
| 4.9.2 Akibat Gaya Gempa | 117 |
| 4.9.3 Gaya Akibat Tekanan Hidrostatik | 122 |
| 4.9.4 Gaya Akibat Tekanan Lumpur Atau Sedimen | 126 |
| 4.9.5 Gaya-gaya Akibat Uplift Pressure (Gaya Angkat) | 128 |
| 4.10 Kontrol Stabilitas Bendung | 137 |
| 4.10.1 Kontrol Pada Kondisi Air Normal | 137 |
| 4.10.2 Kontrol Pada Kondisi Air Banjir | 140 |

| | |
|-----------------------------|-----|
| BAB V PENUTUP | 143 |
| 5.1 Kesimpulan | 143 |
| 5.2 Saran | 144 |
| | |
| DAFTAR PUSTAKA | 145 |

DAFTAR GAMBAR

| | Halaman |
|---|---------|
| Gambar 1.1 Tubuh bendung yang sudah rusak | 3 |
| Gambar 1.2 Kolam olak yang sudah rusak | 3 |
| Gambar 1.3 Pintu penguras yang tidak berfungsi lagi | 4 |
| Gambar 2.1 Metode Poligon Thiessen..... | 9 |
| Gambar 2.2 Metode Aljabar | 10 |
| Gambar 2.3 Metode Isohiet | 11 |
| Gambar 2.4 Bentuk-bentuk Mercu | 33 |
| Gambar 2.5 Bendung dengan mercu bulat..... | 34 |
| Gambar 2.6 Tekanan pada mercu bendung bulat sebagai fungsi perbandingan $H1/r$ | 35 |
| Gambar 2.7 Harga-harga koefisien $C0$ untuk bendung ambang bulat sebagai fungsi perbandingan $H1/r$ | 36 |
| Gambar 2.8 Koefisien $C1$ sebagai fungsi perbandingan $p/H1$ | 36 |
| Gambar 2.9 Harga-harga Koefisien $C2$ untuk bendung mercu Bulat dengan muka hulu melengkung (menurut USBR, 1960) | 36 |
| Gambar 2.10 Jenis locatan aliran pada kolam olak | 37 |
| Gambar 2.11 Peredam Energi Tipe Bak Tenggelam | 39 |
| Gambar 2.12 Jari-jari minimum bak | 40 |
| Gambar 2.13 Batas minimum tinggi air hilir | 41 |
| Gambar 2.14 Batas Maksimum Tinggi Air Hilir | 41 |
| Gambar 2.15 Kolam Olak USBR Type II | 42 |
| Gambar 2.16 Kolam Olak USBR Type III | 42 |
| Gambar 2.17 Kolam Olak USBR Type IV | 43 |
| Gambar 2.18 Gaya angkat pada pondasi batuan | 47 |
| Gambar 2.19 Gaya tekan keatas pada pondasi bendung | 48 |
| Gambar 2.20 Tekanan air pada dinding tegak | 49 |
| Gambar 2.21 Tebal Lantai Kolam Olak | 54 |
| Gambar 2.22 Metode Angka Rembesan Lane | 55 |
| Gambar 3.1 Peta lokasi bendung | 57 |

| | | |
|-------------|--|-----|
| Gambar 3.2 | Flow Chart Perencanaan Bendung | 61 |
| Gambar 4.1 | Peta Catchment Area Bendung Ujung Gunung | 62 |
| Gambar 4.2 | Poligon Thiessen Bendung Ujung Gunung | 63 |
| Gambar 4.3 | Koefisien C0 Untung Bendung Mercu Bulat Sebagai Fungsi Dari Nilai banding $H1/r$ | 101 |
| Gambar 4.4 | Koefisien C1 Sebagai Nilai Banding fungsi $p/H1$ | 101 |
| Gambar 4.5 | Koefisien C2 Untuk Bendung Mercu Ogee Dengan Muka Hulu Melengkung (menurut USBR,1960) | 101 |
| Gambar 4.6 | Tinggi Muka Air Banjir (Hd) Di Atas Mercu | 102 |
| Gambar 4.7 | Jari-jari Minimum Bak | 106 |
| Gambar 4.8 | Batas Minimum Tinggi Air Hilir | 107 |
| Gambar 4.9 | Rencana Penampang Memanjang Bendung | 109 |
| Gambar 4.10 | Gaya-gaya Akibat Berat Sendiri Bendung | 115 |
| Gambar 4.11 | Gaya-gaya Yang Bekerja Terhadap Gempa | 120 |
| Gambar 4.12 | Gaya Yang Bekerja Akibat Tekanan Hidrostatik Air Normal | 123 |
| Gambar 4.13 | Gaya Yang Bekerja Akibat Tekanan Hidrostatik Air Banjir | 124 |
| Gambar 4.14 | Gaya-gaya Akibat Tekanan Lumpur (Sedimen) | 127 |
| Gambar 4.15 | Gaya Yang Bekerja Akibat Uplift Horizontal Saat Kondisi Air Normal | 129 |
| Gambar 4.16 | Gaya Yang Bekerja Akibat Uplift Vertical Saat Kondisi Air Normal | 131 |
| Gambar 4.17 | Gaya Yang Bekerja Akibat Uplift Horizontal Saat Kondisi Air Banjir | 133 |
| Gambar 4.18 | Gaya Yang Bekerja Akibat Uplift Vertical Saat Kondisi Air Banjir | 135 |

DAFTAR TABEL

| | Halaman |
|---|---------|
| Tabel 2.1 Nilai Variabel Reduksi Gauss | 12 |
| Tabel 2.2 Nilai Reduced Variate (Yt) | 14 |
| Tabel 2.3 Nilai reduced standart deviation (Sn) dan nilai reduced Mean (Yn) | 15 |
| Tabel 2.4 Faktor frekuensi K_T untuk distribusi log pearson tipe III (G atau Cs positif) | 17 |
| Tabel 2.5 Faktor frekuensi K_T untuk distribusi log pearson tipe III (G atau Cs negatif) | 19 |
| Tabel 2.6 Nilai χ_{cr}^2 | 22 |
| Tabel 2.7 Nilai Δ_{kritik} Uji Smirnov-Kolgomorov | 23 |
| Tabel 2.8 Wilayah luas dibawah kurva normal | 24 |
| Tabel 2.9 Koefesien Pengaliran (C) | 27 |
| Tabel 2.10 Berat isi pasangan | 44 |
| Tabel 2.11 Koefisien zona gempa, zona A, B, C, D, E, F | 46 |
| Tabel 2.12 Periode ulang dan percepatan gempa dasar | 46 |
| Tabel 2.13 Harga-harga ξ | 47 |
| Tabel 2.14 Harga koefisien tanah aktif Rankine | 50 |
| Tabel 2.15 Harga koefisien tanah pasif Rankine | 51 |
| Tabel 2.16 Harga \emptyset dan c | 51 |
| Tabel 2.17 Harga-harga perkiraan untuk koefisien gesekan | 52 |
| Tabel 2.18 Harga-harga minimum angka rembesan Lane (C_L) | 56 |
| Tabel 4.1 Data Hujan Maksimum Harian di Stasiun Paraman Talangi | 64 |
| Tabel 4.2 Perhitungan Distribusi Probabilitas Normal | 65 |
| Tabel 4.3 Perhitungan parameter statistik dari distribusi log normal . | 67 |
| Tabel 4.4 Perkiraan hujan rencana DAS Bendung Ujung Gunung dengan Distribusi log normal | 68 |
| Tabel 4.5 Perhitungan distribusi probabilitas gumbel | 69 |
| Tabel 4.6 Faktor frekuensi K_T (G atau Cs) | 70 |

| | | |
|------------|---|-----|
| Tabel 4.7 | Parameter statistik distribusi probabilitas log person tipe III | 71 |
| Tabel 4.8 | Perkiraan hujan rencana Bendung Ujung Gunung dengan distribusi Log person III | 72 |
| Tabel 4.9 | Data hujan yang telah diurutkan dari besar ke kecil | 73 |
| Tabel 4.10 | Perhitungan nilai X^2 untuk distribusi Normal | 77 |
| Tabel 4.11 | Perhitungan nilai X^2 untuk distribusi Gumbel | 77 |
| Tabel 4.12 | Perhitungan nilai X^2 untuk distribusi Log Normal | 78 |
| Tabel 4.13 | Perhitungan nilai X^2 untuk distribusi log person type III ... | 78 |
| Tabel 4.14 | Rekapitulasi Nilai χ^2 dan χ^2_{cr} | 78 |
| Tabel 4.15 | Perhitungan Uji Distribusi Normal dengan Metode Smirnov Kolmogorof | 80 |
| Tabel 4.16 | Perhitungan Uji Distribusi Gumbel dengan Metode Smirnov Kolmogorof | 81 |
| Tabel 4.17 | Perhitungan uji distribusi log normal dengan metode Smirnov Kolmogorof | 83 |
| Tabel 4.18 | Perhitungan uji distribusi log person type III dengan Metode Smirnov Kolmogorof | 85 |
| Tabel 4.19 | Rekapitulasi Nilai Δp dan Δp_{kr} | 85 |
| Tabel 4.20 | Nilai curah hujan rancangan hasil analisis frekuensi Distribusi Log Normal | 86 |
| Tabel 4.21 | Perhitungan waktu konsentrasi (T_c) | 87 |
| Tabel 4.22 | Perhitungan intensitas hujan | 87 |
| Tabel 4.23 | Perhitungan hujan rencana metode rasional | 88 |
| Tabel 4.24 | Perhitungan t dengan cara coba-coba agar $t_1=t$ | 89 |
| Tabel 4.25 | Perhitungan hujan rencana metode weduwen | 90 |
| Tabel 4.26 | Perhitungan Intensitas Hujan Rencana | 91 |
| Tabel 4.27 | Perhitungan Debit Banjir Rencana metode Mononobe | 93 |
| Tabel 4.28 | Rekapitulasi debit banjir rencana | 93 |
| Tabel 4.29 | Perhitungan Koefisien Debit (C_d) | 100 |
| Tabel 4.30 | Perhitungan tinggi muka air banjir (H_d) di atas mercu | 100 |
| Tabel 4.31 | Perhitungan tinggi air banjir di hilir bendung | 103 |

| | | |
|------------|--|-----|
| Tabel 4.32 | Perhitungan stabilitas terhadap erosi bawah tanah pada Kondisi air normal | 111 |
| Tabel 4.33 | Perhitungan stabilitas terhadap erosi bawah tanah pada Kondisi air banjir | 113 |
| Tabel 4.34 | Perhitungan Gaya-gaya akibat berat sendiri | 117 |
| Tabel 4.35 | Harga Koefisien gempa n dan m | 118 |
| Tabel 4.36 | Harga koefisien gempa ac | 119 |
| Tabel 4.37 | Perhitungan gaya-gaya akibat gempa | 122 |
| Tabel 4.38 | Perhitungan gaya-gaya akibat tekanan hidrostatik kondisi air normal | 124 |
| Tabel 4.39 | Perhitungan gaya-gaya akibat tekanan hidrostatik kondisi air banjir | 125 |
| Tabel 4.40 | Perhitungan gaya-gaya akibat tekanan lumpur (sedimen) .. | 128 |
| Tabel 4.41 | Perhitungan gaya akibat Uplift Pressure horizontal saat air normal | 130 |
| Tabel 4.42 | Perhitungan gaya akibat Uplift Pressure vertical saat air banjir | 132 |
| Tabel 4.43 | Perhitungan gaya akibat Uplift Pressure horizontal saat air banjir | 134 |
| Tabel 4.44 | Perhitungan gaya akibat Uplift Pressure vertical saat air banjir | 136 |
| Tabel 4.45 | Rekapitulasi gaya-gaya dan momen pada kondisi air Normal | 137 |
| Tabel 4.46 | Rekapitulasi gaya-gaya dan momen pada kondisi air banjir | 140 |